

ウォータージェット工法による供用中の電力洞道の補修

森 康雄* 時岡誠剛** 的場重道*** 緒方明彦**** 森本浩二*****

建設後約40年経過した電力洞道において、側壁の主筋に沿ってはく離、はく落していた箇所の補修方法の検討とその施工について報告する。電力洞道には多数のケーブルが敷設されており供用させながら狭隘な場所での施工方法の選定がポイントであった。コンクリートの除去工法としてウォータージェット工法（以下、WJ工法と呼ぶ。）の安全性、施工性について事前に確認を行い、ケーブルの防護工法について検討した。また、かぶりコンクリートの除去に伴う構造的な安全性についても検討し、工事は無事に完了した。

キーワード：ウォータージェット工法、洞道、補修

1.はじめに

建設後約40年経過した電力洞道において、側壁の主筋に沿ってかぶりコンクリートがはく離しており、側壁やスラブでは側壁のはく離とは原因の異なると考えられるひび割れが顕在化してきた。平成17年頃から各種調査を実施しており、対策について検討を行ってきた。ここでは、側壁のかぶりコンクリートのはく離部の補修方法の検討とその施工について報告する。

本洞道は変電所からの送電ケーブルを敷設収納している。場所は市街地で港（海岸）から300m程度離れている。供用開始は1969年である。内空断面は幅1.6m、高さ1.95m、延長76.5mで線形は途中で90度曲っておりL字型になっている。土被りは1.5m～2mである（Fig.1～Fig.2参照）。

2.現況

1ブロック7.5mとし10（A～J）ブロックに分割し施工前に概要調査（目視によるひび割れ調査等）した。調査結果の展開図をFig.3に示す。劣化の特徴は以下の通りである。

（1）A～Eブロック

側壁（ハンチ含む）の主筋に沿って被りコンクリートがはく離、はく落が多く見られた。はく離、はく落箇所は鉄筋かぶりが小さく鉄筋が露出して錆びている。鉄筋腐食状況は表面的な腐食が多いが、部分的には断面欠損が見られる箇所もある。

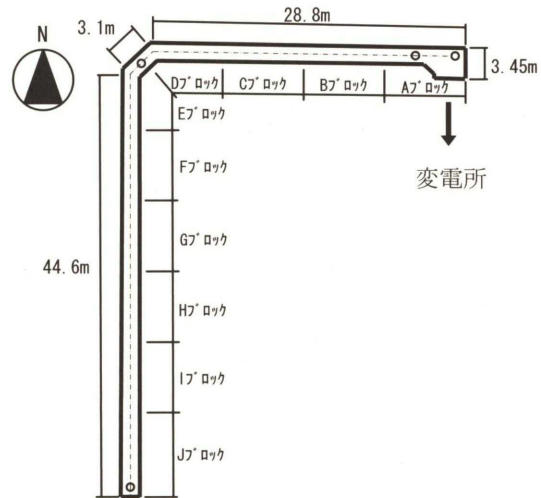


Fig. 1 平面図

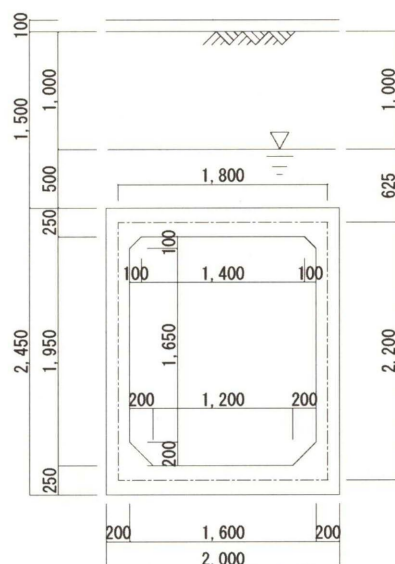


Fig. 2 標準断面図

* 土木事業本部 環境・リニューアル技術部
** 技術研究所
*** 広島支店 土木部 四国工事部
**** 土木事業本部 土木設計部
***** 四国電力 高松支店 電力部

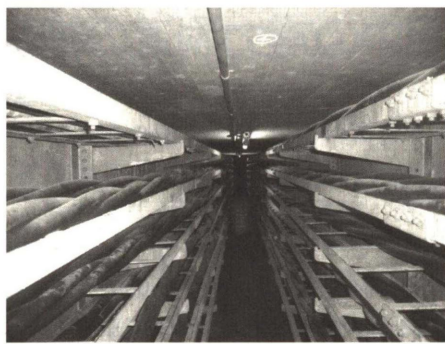


Photo. 1 洞道内状況

(2) F～J ブロック

スラブ中央に幅 0.1～0.45mm のひび割れが、側壁には水平方向に以外に数箇所不規則なひび割れ（幅 0.1～0.5mm）が見られる。

3. 既往の調査、検討

既往の調査記録として以下のように各種調査検討が実施されている。

(1) ひび割れ調査

平成 14 年 3 月、平成 16 年 3 月、平成 17 年 8 月に調査したひび割れ展開図がある。

平成 17 年に以下の試験を実施している。

(2) その他の調査

側壁 6 箇所でコンクリートコア（ $\phi 73.5\text{mm}$ ）を採取し、圧縮強度試験、引張強度試験、中性化深さ測定、配合推定試験、塩化物イオン濃度の測定等を実施している。また、ひび割れの進行性の有無を確認するために 8 箇所に金属プレートを埋設して進展状況をチェックしている。

(3) 構造検討

各種荷重条件のもとで構造的な検討が実施されている。

(4) 判定

A～E ブロックの主筋に沿ったかぶりコンクリートのはく離、はく落またはひび割れは中性化、塩化物イオンにより鉄筋が腐食したことが原因であるとしている。また、F～J ブロックのスラブ中央や側壁の水平方向のひび割れについては通常の車両荷重においては構造上の安全性が確保されているため、ひび割れ発生の直接的な原因ではないと判断している。

(5) 対策

1) A～E ブロック

錆びた主筋に沿ってコンクリートを除去し、鉄筋の錆落し、防錆、断面修復を行う。

2) F～J ブロック

以下の項目について調査、検討し補修・補強の要否、時期を決定する。

- ・ひび割れ幅と進行性
- ・ひび割れ発生位置と鉄筋被りの関係
- ・現況のひび割れが発生する場合に想定される車両荷重

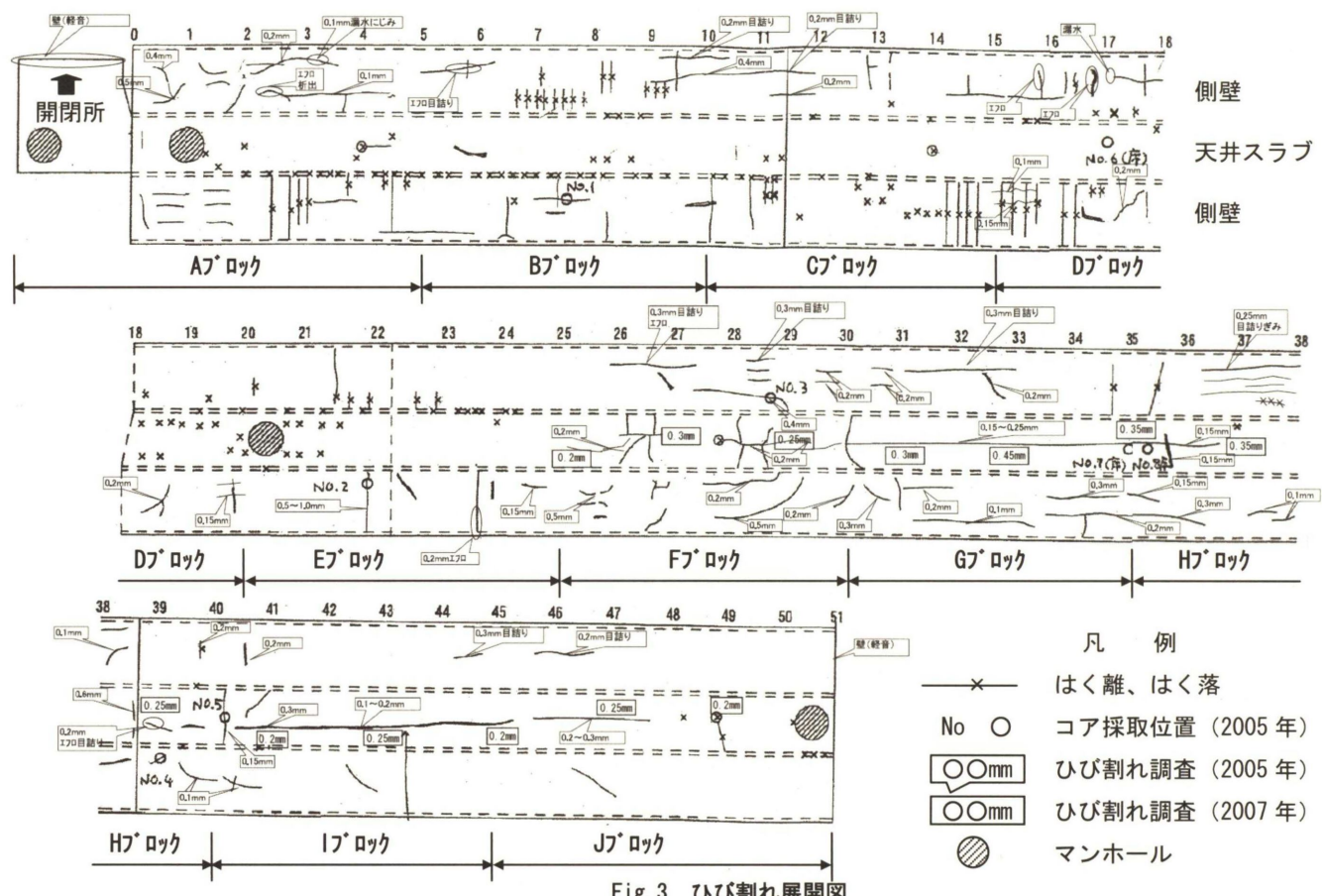


Fig. 3 ひび割れ展開図

Table 4 ケーブル防護工の事前実験結果

| 防護材 | | 圧 力 | 結 果 | 判 定 |
|----------|------------|---------|---------------|-----|
| 材 質 | 仕 様 | | | |
| ゴムシート | t=5mm | 100 MPa | 破断した | × |
| | t=8mm | | 少し破れる | × |
| 支線ガード | 黄色パイプ | | 毛羽立つ | △ |
| ゴムゲートパイプ | | | 毛羽立つ | △ |
| 支線ガード | トラ模様 | | 毛羽立つ | △ |
| アルミ板 | t=0.2mm | | 穴があく | × |
| | t=0.3mm、2重 | | わずかに変形、穴はあかない | △ |
| トタン板 | t=0.27mm | | まったく変化なし | ○ |
| 支線ガード | 黄色パイプ | 150 MPa | 損傷する | × |
| コルゲートパイプ | | | 穴あく | × |
| アルミ板 | t=0.3mm、2重 | | 噴射部分が少し変形する | △ |
| トタン板 | t=0.27mm | | 変化なし | ○ |

4) 防護工

実際に現場で使用した防護工の設置状況を Photo. 3 に示す。クッション材としてゴムシート（厚さ 3mm）でケーブルを巻き立てさらにその外側を厚さ 0.3mm の鋼板で防護した。



Photo. 3 防護工設置状況

5. 2 コンクリート除去時の構造検討

1) 検討方針

WJ でコンクリート表面を除去した場合の構造的な安全性について検討した。検討モデルとしては、頂版、左右の側壁内側を 5cm 除去した場合について検討する。

2) 計算条件

- 材料および配筋については、外側 : D13@150mm, 内側 : D13@300m である。
- 鉄筋かぶりは、外側および底版については元設計通り 6cm とする。頂版、側壁の内側については 2cm とする。
- 活荷重は、道路土工指針に従って T-25 を載荷する。
- 許容応力度は短期許容とする。

$$\sigma_{ca}=10.5 \text{ (N/mm}^2\text{)}$$

$$\sigma_{sa}=240.0 \text{ (N/mm}^2\text{)}$$

3) 検討ケース

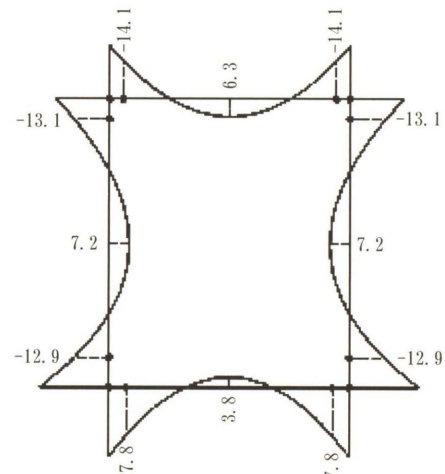
検討ケースは Table 5 の通りとする。

Table 5 検討ケース

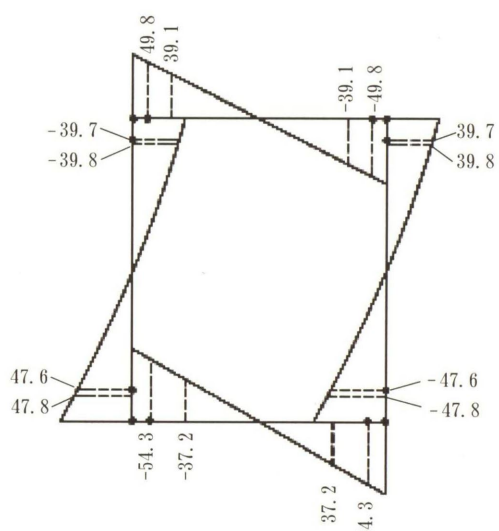
| 検討ケース No | 荷 重 |
|----------|---------------------------|
| 1 | 死荷重 |
| 2 | 死荷重 + T 荷重 (2 軸) 250 (kN) |
| 3 | 死荷重 + 側圧 |

4) 計算結果

上記検討ケースで最も断面力が大きなケース 2 の断面力を Fig. 4 に、側壁の応力度照査を Table 6 に示す。



曲げモーメント図



せん断力図

Fig. 4 断面力図 (ケース 2)

5) 判定

計算結果 (Table 6 参照) より、頂版および左右側壁内側のかぶりコンクリートを 5cm 除去しても短期許容においては、鉄筋、コンクリートとともに発生応力度は許容値以下となる。

Table 6 側壁の応力度照査表 (曲げ応力)

| 項目 | 単位 | 上隅角部 | 支間部 | 下隅角部 |
|------------|------------------------|---------------------------|---------------------------|---------------------------|
| | | 外側引張 | 内側引張 | 外側引張 |
| 曲げモーメント M | kN·m | -13.1 | 7.0 | -12.9 |
| 軸力 N | kN | 56.3 | 36.7 | 63.1 |
| 部材幅 b | cm | 100.0 | 100.0 | 100.0 |
| 部材高 h | cm | 15.0 | 15.0 | 15.0 |
| 有効高 d | cm | 9.0 | 13.0 | 9.0 |
| 外側鉄筋かぶり d1 | cm | 6.0 | 6.0 | 6.0 |
| 内側鉄筋かぶり d2 | cm | 2.0 | 2.0 | 2.0 |
| 必要鉄筋量 | cm ² | 5.12 | 2.64 | 4.75 |
| 使用鉄筋 | 外側 cm ² | D13 #150 D—#— 8.447 | D13 #150 D—#— 8.447 | D13 #150 D—#— 8.447 |
| | 内側 cm ² | D13 #300 D—#— 4.223 | D13 #300 D—#— 4.223 | D13 #300 D—#— 4.223 |
| 中立軸 X | cm | 3.978 | 4.823 | 4.062 |
| 応力度 | σ c N/mm ² | 8.00 | 3.57 | 7.77 |
| | σ s N/mm ² | 151.44 | 90.82 | 141.74 |
| 許容応力度 | σ ca N/mm ² | 10.50 | 10.50 | 10.50 |
| | σ sa N/mm ² | 240.00 | 240.00 | 240.00 |
| 検討ケース | — | 2 | 3 | 2 |

6) 必要鉄筋量

WJ でかぶりコンクリートを 5cm 除去した際に必要とされる鉄筋量を算出し、鉄筋腐食量が構造上の安全性に及ぼす影響、施工中の補強の必要性について検討した。

コンクリート除去時に内側鉄筋の曲げモーメントによる必要鉄筋量を算出すると Table 7 のようになる。

Table 7 側壁内側鉄筋の必要鉄筋量

| 部位 | モーメント (kN·m) | 軸力 (kN) | 桁高 (cm) | 被り (cm) | A sreq (cm ²) |
|------|--------------|---------|---------|---------|---------------------------|
| 頂盤内側 | 6.300 | 44.800 | 20.0 | 0.0 | 0.721 |
| 側壁内側 | 7.000 | 36.700 | 15.0 | 0.0 | 1.592 |

D13 は 1 本の断面積が 1.267cm² であることから、頂版は 1mあたり 1 本以上の鉄筋が、側壁は 1 本程度鉄筋があれば、構造上の安全性を確保しながら施工可能である。

施工時には鉄筋の断面欠損率を測定しながら、同時に施工する範囲を決定する必要がある。

6. 補修工事

6. 1 概要

側壁の主筋に沿ったはく離、はく落の補修工事の作業フロー図を Fig. 5 に、標準的な補修断面図を Fig. 6 に示す。補修対象箇所は打音調査により濁音や軽音を発する場所とした。また、補修後における設計の鉄筋かぶりを確保するために断面修復は既設の構造物表面から増厚して施工した。

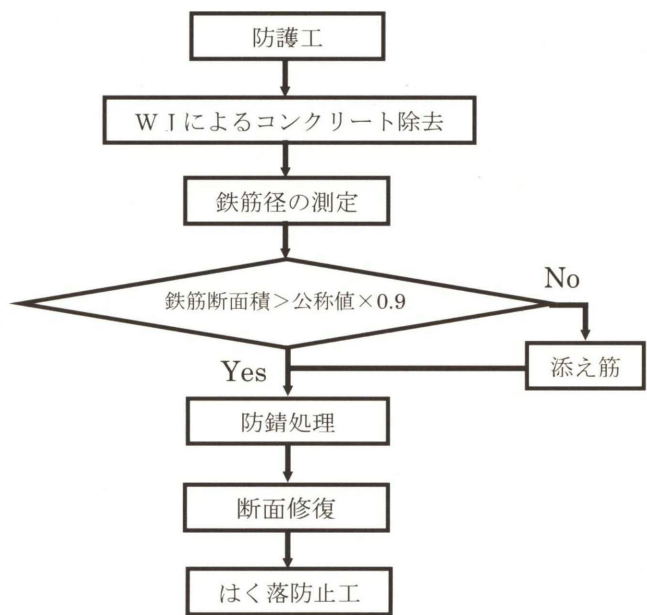


Fig. 5 補修工事の施工フロー図

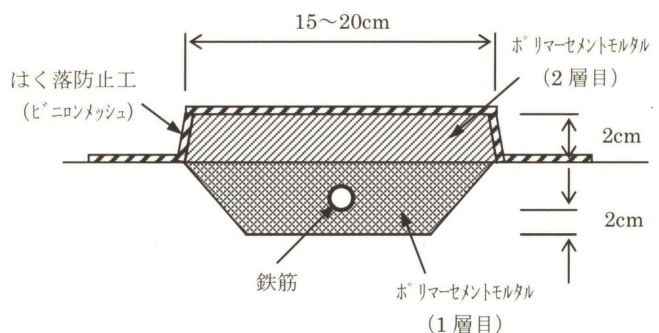


Fig. 6 補修断面図

6. 2 WJ 工法によるコンクリート除去工

(1) 施工機械

施工時の WJ の仕様は 150MPa とし、高压水発生装置は車載型（トラックマウント、2t 車）を使用した。施工時に使用した WJ 工法の主要使用機器を Table 8 に示す。

コンクリート除去の施工数量は幅 15~20cm、延長 85.4m、面積は 17.1m² で、平均的な施工速度は 4m/日、0.8m²/日であった。

Table 8 WJ工法における主要機械

| 機械名称 | 仕 様 | 単位 | 数量 |
|---------|-----------------------------|----|----|
| 高圧水発生装置 | 150MPa, 15L/分 | 台 | 1 |
| ハンドガン | ノズル2穴, 回転式 | 台 | 1 |
| 安全バルブ | 高圧ホース分岐用 | 個 | 1 |
| 超高压水ホース | 250MPa, 径8mm | 本 | 5 |
| ノッチタンク | 3m ³ 用, 濁度, pH調整 | 個 | 1 |
| 水中ポンプ | 2インチ | 台 | 1 |



Photo. 4 高圧水発生装置



Photo. 5 WJ工法施工状況

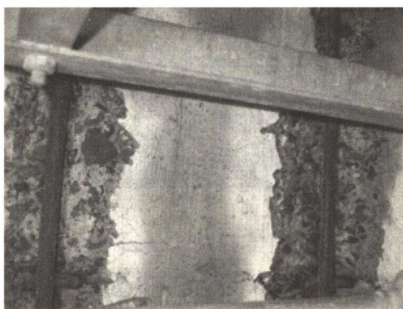


Photo. 6 コンクリート除去後

(2) 安全対策

作業場所が狭隘な空間であるためミスト（WJにより発生する霧状の細かな水粒子）による視界不良対策として強制的に換気を行った。

作業員は保安帽、保護面（フルフェイス）、防護服、防護手袋、安全靴を着用して施工した。

(3) 濁水処理

通常はWJ工法で発生する濁水は強アルカリ（pH11～12）

で濁度が大きいため濁水を水中ポンプで屋外の廃水処理タンクに回収して濁度とpHを調整して基準値以下にして排水する。

本工事では、既設コンクリートの中性化によるためかpHは中性領域であったため、pHの調整はしなかった。また、濁度についても排水量が少ないこともあり、浮遊物の自然沈降により上水を排水して処理した。

6. 3 鉄筋処理工

WJ工法でかぶりコンクリートを除去後、鉄筋の腐食（欠損）状況を確認し鉄筋径をノギスで測定した。断面積が10%以上欠損している場合は添え筋（D13）を配筋した。

鉄筋は施工当初の黒錆が残っている部分も多く、表面的な劣化状況（被りコンクリートのはく離、はく落）の割には腐食の程度は軽微（表面的な錆）であり、添え筋の施工箇所は10箇所（添え筋延長30～50cm）程度であった。

添え筋の継手方法は、重ね継手が不可能であるため「鉄筋フレア溶接継手設計施工指針」をもとに溶接継手とした。添え筋の両端部を必要な長さ（フレアV型の場合は10D=13cm）既設鉄筋と溶接した。

セメント系粉体に亜硝酸リチウム及びエポキシーアクリル系エマルジョンを配合した鉄筋防錆材を刷毛で2回塗布した。



Photo. 7 溶接継手施工状況

6. 4 断面修復工

ポリマー系セメントモルタルで断面修復を行った。

場所も狭隘であり施工面積も少ないため左官工法としグラスファイバー繊維を混入した厚付け用の材料とした。ペール缶にプレミックス材料（セメント、砂、繊維）とポリマーを投入しハンドミキサーで練り混ぜた。1層あたりの施工厚さは2～3cmとし2層塗りを基本とした。既設コンクリートの除去面にはあらかじめ接着剤を塗布し断面修復材をコテ塗りした。

材料の物性値（メーカーCATALOG）をTable 9に配合をTable 10に、施工状況をPhoto. 8に示す。

現場で使用した材料と同じ製造ロッドの材料を使って工場で製作した供試体の強度試験結果をTable 11に示す。

Table 9 断面修復材の物性値

| | 強度 (N/mm ²) | | | 可使時間 (分) |
|------|-------------------------|------|------|-------------|
| | 圧縮強度 | 曲げ強度 | 付着強度 | |
| 規格値 | 25.0 | 6.0 | 1.5 | 60※ |
| 室内実験 | 35.1 | 6.4 | 2.3 | — |

※ 冬季

Table 10 断面修復材の配合 (単位: kg)

| 材料 | プレミックス材 | ポリマー | 水 |
|----|---------|------|-----|
| 重量 | 25 | 1 | 3.5 |

Table 11 断面修復材の圧縮強度試験結果 (単位: N/mm²)

| 供試体 製作日 | 材齢 | 圧縮強度 | 曲げ強度 | 接着強度 |
|------------|-----|------|------|------|
| H19.9.19 | 7日 | 22.7 | 5.3 | 1.6 |
| | 28日 | 35.5 | 6.5 | 2.4 |
| H20.2.5 | 7日 | 22.2 | 5.6 | 1.5 |
| | 28日 | 34.9 | 6.7 | 2.1 |

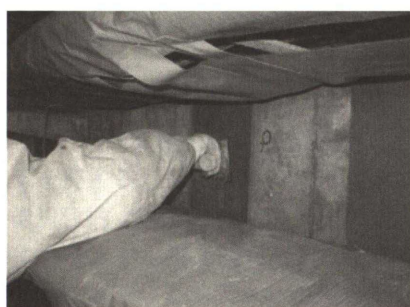


Photo. 8 断面修復施工状況

6. 5 はく落防止工

コンクリート除去範囲の端部は除去形状が斜め（フェザーエッジ）になるため、通常は除去範囲の端部にコンクリートカッターで垂直に目地を入れてコンクリートを除去し、端部の断面修復材のはく離を防止する。

しかし、本工事ではケーブルラックと側壁、ケーブルラック同士の隙間が狭いためコンクリートカッターで目地をいれることはできなかった。したがって、ここではカッター目地は入れないものとし断面修復工を行った後、はく落防止工として修復材の表面にエポキシ系接着剤で3軸ビニロンメッシュシートを貼り付けた。

はく落防止工は、断面修復材料が硬化して表面含水率が低下してから施工した。コンクリートの含水率が高い状態では、接着用の樹脂が硬化不良を起こし、将来的にはがれや膨れの原因になるため、養生期間を1週間とした。

3軸ビニロンメッシュシートを Photo. 9 にその物性を Table 12 に示す。また、施工状況を Photo. 10 に示す。

Table 12 ビニロンメッシュシートの物性

| | | |
|-------------|--|-----|
| 使用糸 | 高弾性ビニロン糸 2,000dtex (=1,800 デニール) | |
| 構 造 | 3 軸組布 | |
| 密 度 | 本/25mm | 2.8 |
| 1 辺の長さ | mm | 10 |
| 引張り強さ | N/本 | 215 |
| 単位面積当たり繊維質量 | g/m ² | 86 |

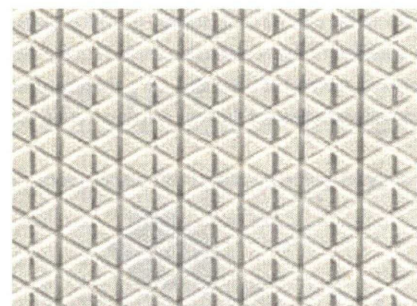


Photo. 9 3軸ビニロンメッシュシート

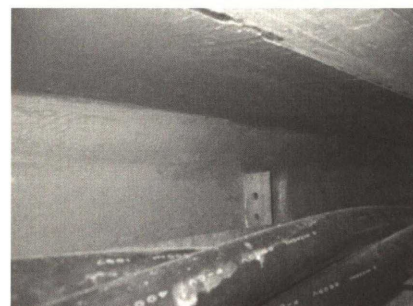


Photo. 10 はく落防止工施工状況

7. おわりに

2年間にわたり計3回に分割して施工した補修工事は無事終了した。かぶりコンクリートのはく離、はく落箇所の断面修復工事はどこでも施工している普通の工事である。この工事のポイントは、「はじめに」でも書いたように送電を供用しながらの狭隘な場所でのコンクリート除去工法の選定と施工である。コンクリート除去の施工効率は悪くならざるをえないがケーブルに傷をつけることも無く、狭隘な場所で災害も無く無事に工事は終了した。

今後、同様な施工条件での補修工事の参考となれば幸甚である。

謝辞

本施工を実施するにあたり、ご指導、ご助言をいただいた関係各位の方々に感謝の意を表します。

参考文献

- 1) (財)道路保全技術センター, 道路構造物解体ハンドブック, 2004
年 8 月 30 日
- 3) 財団法人鉄道総合技術研究所, 鉄筋フレア溶接継手設計施工指針,
昭和 62 年 9 月
- 2) 日本ウォータージェット施工協会, ウォータージェット工法計

Repair of Operating Electric Cable Tunnel with the Water Jet Method

Yasuo MORI, Seigo TOKIOKA, Shigemichi MATOBA; Akihiko OGATA and Kouji MORIMOTO

Abstract

We hereby report about examination of a repair method and its actual repair work at the place of which the sidewall separated or flaked along main reinforcement bar in the electric cable tunnel, of which more than 40 years have passed since its completion. A lot of cables were laid in the tunnel and the key point was selection of the construction method at the narrow place and under the condition that cables were operated. Water Jet method was selected out of many removal method of concrete. We confirmed safety and work characteristics in advance and decided a protection method of cables. In addition, We examined structural safety for the removal of covering concrete and completed the repair work safely.

Keywords : water jet method, electric cable tunnel, repair